

# مدلسازی زمین‌آماری ویژگی رنگ زمین با استفاده از پردازش تصاویر مغزه‌های حفاری در سیستم RGB جهت تفکیک آلتراسیون مس (مطالعه موردنی: معادن کهنگ و میدوک)

اسماء کریمی نژاد<sup>۱</sup>، فربا کارگران بافقی<sup>۲</sup>، علیرضا یاراحمدی بافقی<sup>۳\*</sup>

۱- دانشجوی کارشناس ارشد زمین‌شناسی مهندسی، گروه زمین‌شناسی، دانشگاه یزد

۲- استادیار، گروه زمین‌شناسی، دانشگاه یزد

۳- دانشیار، دانشکده مهندسی معدن و متالورژی، دانشگاه یزد

(دریافت: مرداد ۱۳۹۵، پذیرش: بهمن ۱۳۹۷)

## چکیده

مدلسازی زمین‌شناسی مستلزم تجربه و دقت بالاست که سایق به روش دستی و امروزه به صورت دستی- کامپیوتري و یا کامپیوتري تهیه می‌گردد. اغلب این مدل‌ها بر اساس داده‌های فاصله‌ای به دست آمده از مغزه‌های حفاری اکتشافی و به روش درون‌یابی خطی به دست می‌آیند. امروزه روش‌های زمین‌آماری به خصوص کریجینگ شاخص قابلیت بالائی در تهیه مدل‌های هندسی- زمین‌شناسی یافته‌اند اما در اغلب مواقع تغییرات ریز زون‌های زمین‌شناسی تدریجی است و این نوع مدل‌ها را دچار ابهامات گوناگونی می‌نماید که این مسئله در تفکیک زون‌های آلتراسیون معادن مس پورفیری اهمیت ویژه‌ای می‌باشد. در این پژوهش به کمک پردازش عکس مغزه‌ها و تبدیل آنها به داده‌های فاصله‌ای رنگ در سیستم RGB با استفاده از Core Processing و از داده‌های کمی رنگ‌های قرمز، سبز و آبی به طور مجزا استفاده شد. ابتدا برای منطقه معدن کهنگ مدلی به ابعاد ۷۰۰ در ۳۰۰ متر و ارتفاع ۴۰۰ متر در محدوده چاه‌های اکتشافی منطقه تهیه و مقادیر R، G و B برای بلوک‌های با ابعاد  $5 \times 5 \times 5$  به روش کریجینگ معمولی مورد تخمین قرار گرفت و امکان تهیه مقطع زمین‌شناسی بر اساس سیستم رنگ‌بندی سه گانه RGB ممکن گردید. جهت اعتبارسنجی شاخصی با عنوان  $I_{rgb}$  که طول بردار در محورهای سه گانه R، G و B است، تعریف گردید و مقاطع این شاخص با مقاطع سنگ‌شناسی و مقاطع آلتراسیون معدن کهنگ مورد مقایسه قرار گرفت، که با مقاطع سنگ‌شناسی تطابق خوبی نشان نداد. اما مقایسه نقشه آلتراسیون افق ۱۷۰۰ با شاخص  $I_{rgb}$  همان تراز در معدن کهنگ تطابق قابل قبولی را نشان داد. برای اطمینان از ممکن استفاده از مدل زمین‌آماری سیستم رنگ RGB و شاخص  $I_{rgb}$  به عنوان معرف مدل آلتراسیون در معادن مس، مدل شاخص  $I_{rgb}$  معدن مس میدوک بر اساس ۱۳ گمانه ژئومکانیکی و ۳۵ گمانه ژئوشیمیایی تهیه گردید. از طرفی عملیات برداشت ژئوفیزیکی معدن به منظور تعیین زون‌های آبدار انجام و مقاطع ضربی مقاومت الکتریکی تهیه شده با مقاطع شاخص مقایسه گردید. و نتیجه مقایسه توائیست با توجه به حساسیت رنگ به آلتراسیون، این زون‌ها را تشخیص و تفکیک نماید و از اینکه زون‌های با مقاومت الکتریکی پایین زون آبدار تلقی شود، جلوگیری کند.

## کلمات کلیدی

مدل زمین‌آماری، پردازش تصویر، جعبه مغزه حفاری، سیستم رنگ RGB، معدن کهنگ، معدن میدوک

\* عهده دار مکاتبات: ayarahmadi@yazd.ac.ir

## ۱- مقدمه

معدن مس کهنگ و معدن مس میدوک انتخاب گردید. شاید مهم‌ترین مسئله در این پژوهش تفکیک عددی مناطق آلتراپسیون در ذخایر مس پورفیری مورد مطالعه بر اساس تشخیص رنگ و تخمین به روش زمین‌آمار باشد. در کنار این مدل با توجه به وجود داده‌های ساختاری کیفیت توده‌سنگ (RQD) و چگالی خطی درزه‌داری ( $P_{10}$ ) بررسی قابلیت مدل‌سازی زمین‌آماری این دو ویژگی مهم توده‌سنگ انجام گرفت که به دلیل حجمی شدن مطلب از ارائه آن صرف نظر شده است.

## ۲- ارتباط فضایی در ویژگی‌های رنگ

در بررسی به عمل آمده، از کاربرد همزمان پردازش تصویر و سیستم رنگ‌بندی RGB و زمین‌آمار در مدل‌سازی زمین‌شناسی و تهیه مقاطع قائم و افقی معمول به صورت کامپیوتربنگارشی یافت نشد، اما استفاده از برخی از این روش‌ها در حل مسائل مشابه در پژوهش‌های برخی از دانشمندان دیده شد. منذر-ونگاز و همکاران در سال ۲۰۱۳ ضمن تشخیص سنگ دانه خاک و فضاهای خالی موجود در خاک مخازن توربیدیتی نفت، با استفاده از عکس‌های میکروسکوپی به شبیه‌سازی زمین‌آماری و یافتن توزیع فضایی قطر تخلخل و نفوذپذیری آن پرداختند. شکل ۱ عکس میکروسکوپی و واریوگرام یکی از نمونه‌ها را نشان می‌دهد<sup>[۲]</sup>.

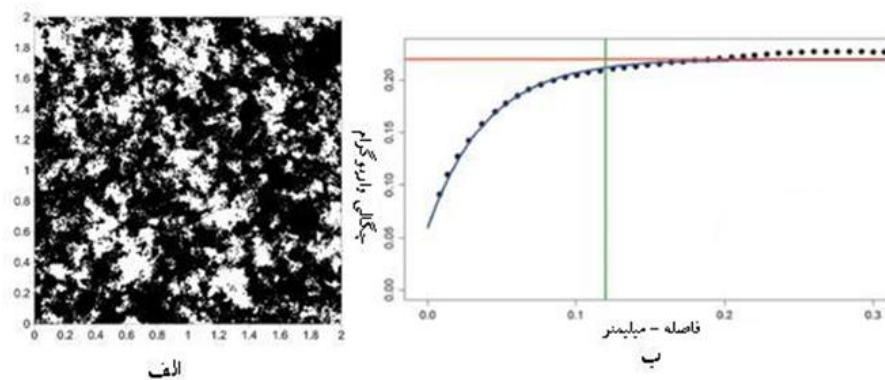
گرانوالد سال ۲۰۱۳ با استفاده از زبان مدل‌سازی مجازی (VRLM) به ایجاد مدل‌های زمین‌لغزه‌ای خاکی در مقیاس‌های مختلف پرداخته است. برای این منظور چهار مکان مختلف در جنوب ویسکانسین انتخاب شد. مدل‌سازی دو بعدی و سه‌بعدی به روش کرجینگ معمولی بر اساس اطلاعات ورودی خاک شامل بافت، شاخص مخروطی (CPT) و مشخصات رنگی خاک (RGB) بر اساس عمق لایه‌های خاک، صورت گرفت. شکل ۲ یکی از این مثال‌ها را نشان می‌دهد<sup>[۳]</sup>.

## ۳- ویژگی‌های عمومی منطقه معدن مس کهنگ

کانسار مس پورفیری کهنگ در فاصله ۷۳ کیلومتری شمال شرق اصفهان در میانه کمر بند ماگمایی ارومیه-دختر واقع شده است (شکل ۳).

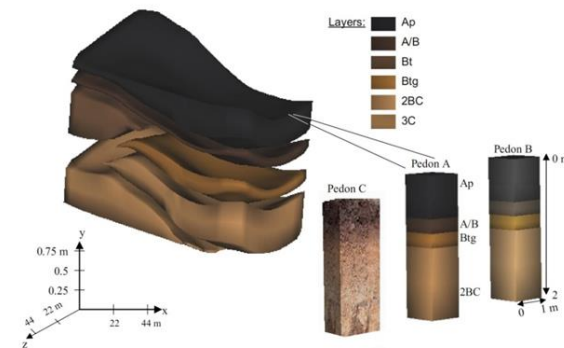
علم پردازش تصویر یکی از علوم پرکاربرد و مفید است که از دیر باز مطالعات و تحقیقات گسترده‌ای در این زمینه صورت گرفته و پیشرفت‌های فراوانی حاصل شده است. سرعت گسترش این پیشرفت‌ها به حدی بوده است که اکنون و پس از مدت زمان کوتاهی می‌توان تاثیر پردازش تصویر را در بسیاری از علوم و صنایع به وضوح مشاهده نمود<sup>[۱]</sup>. یکی از این استفاده‌ها در علم اکتشاف معدن و یا سازه‌های ژئومکانیکی جهت تفکیک مناطق، چاه‌پیمایی تصویری است. به طوری که از مغزه‌های حفاری عکس‌پردازی می‌کنند تا در صورت از بین رفتن مغزه‌ها قابلیت بازسازی آنها از طریق عکس‌ها به وجود آید. یکی از اطلاعات قابل استخراج از این عکس‌ها رنگ آنها به صورت داده‌های رقومی شده در سیستم‌های مختلف رنگی مثل سیستم<sup>۱</sup> RGB است که البته تا کنون کمتر مورد توجه قرار گرفته است. از دیگر اطلاعات قابل استخراج از عکس‌ها شکستگی‌های موجود در مغزه‌ها است. در این روش اکتشافی با توجه به میزان اختلاف سطح خاکستری درزه‌ها با زمینه مغزه، درزه‌های موجود در توده‌سنگ آشکارسازی شده و بعضی از پارامترهای توده‌سنگ مثل شاخص کیفی<sup>۲</sup> (RQD) و چگالی درزه‌داری<sup>۳</sup> ( $P_{10}$ ) به دست می‌آید. مراحل پردازش تصویر خودکار هندسه‌نایپیوستگی‌ها شامل: تهیه عکس از جعبه‌های مغزه حفاری، اعمال پیش‌پردازش بر روی تصاویر، آشکارسازی لبه‌ها با آشکارسازهای مختلف، توصیف لبه‌ها با استفاده از آشکارساز خط با تبدیل‌های مختلف و نهایتاً استخراج اطلاعات مورد نیاز مثل رنگ و ویژگی‌های مختلف لبه‌ها است.

مسئله مورد طرح در این پژوهش بررسی امکان استفاده از روش زمین‌آمار در تخمین و مدل‌سازی رنگی منطقه‌ای است که داده‌های رنگی آن از جعبه‌های مغزه حفاری بر اساس سیستم RGB استخراج شده است و اینکه آیا این داده‌ها که به صورت اعداد بین صفر تا ۲۵۶ و به صورت مجزا کد گذاری شده‌اند، دارای ارتباط فضایی قابل قبول تخمین به روش کریجینگ هستند و مهم‌تر از آن آیا مدل رنگی ایجاد شده برای منطقه مورد مطالعه می‌تواند جایگزین مدل‌های زمین‌شناسی دو بعدی دستی و یا سه‌بعدی شده در نرم‌افزارهای موجود باشد. پاسخ به این سؤال مستلزم انجام این عملیات بر روی یک منطقه و مجموعه چاه‌های اکتشافی آن است. به این منظور بخشی از چاه‌های اکتشافی منطقه

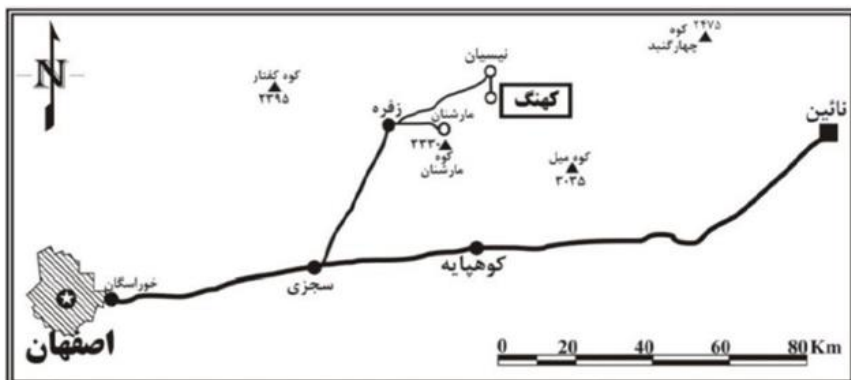


شکل ۱: الف- عکس سیاه و سفید خاک مورد مطالعه زیر میکروسکوپ (رنگ سفید فضاهای خالی). ب- واریogram نشان دهنده ارتباط فضایی قطر تخلخل [۲]

این کانسار در سال ۱۳۸۲ از طریق شناسایی و تفکیک پهنه‌های دگرسانی با استفاده از داده‌های ماهواره‌ای و پی‌جوبی صحراوی کشف گردید. بررسی‌های زمین‌شناسی، دگرسانی و زمین‌شیمیایی، شواهد متعددی مبنی بر وجود کانسار مس پورفیری در این منطقه را نشان می‌دهد. طبق بررسی‌های انجام شده در راستای اکتشاف کانسار کهنگ، ذخیره قطعی این کانسار ۴۰ میلیون تن با عیار ۵۳٪ درصد مس و ۲٪ درصد مولیبدن و ذخیره احتمالی آن ۱۲۰ میلیون تن با عیارهای تقریباً مشابه است [۴].



شکل ۲: مدل ساخته شده سه بعدی خاک توسط کریجینگ  
معمولی [۳]



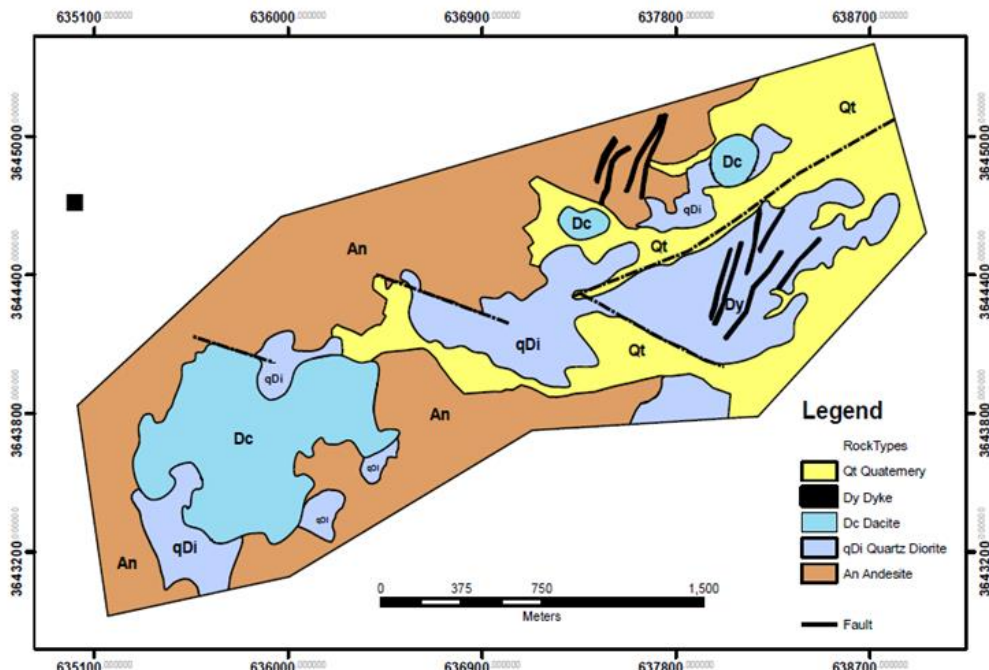
شکل ۳: موقعیت جغرافیایی کانسار مس- مولیبدن پورفیری کهنگ [۴]

در گستره کهنگ چندین گسل اصلی با روند شمال غربی- جنوب شرقی وجود دارند که کانی‌سازی در منطقه به وسیله این عوامل ساختاری کنترل می‌شود. مهم‌ترین گسل موجود به طول ۷۰۰ متر با روند شمال شرقی- جنوب غربی از بخش مرکزی گستره مورده بررسی می‌گذرد. در مرکز سیستم دگرسانی موجود در منطقه چندین ساختار حلقوی کوچک وجود دارند که در ایجاد کانی‌سازی و دگرسان کردن واحدهای مختلف سنگی موجود در منطقه نقش موثری داشته‌اند. روند قرارگیری توده‌های آذرین مشاهده شده در

### - ۱-۳ - زمین‌شناسی منطقه معدن مس کهنگ

توده‌های نفوذی با سن میوسن بالایی و ترکیب دیوریتی تا گرانودیوریتی به درون واحدهای خروجی ائوسن و میوسن نفوذ کرده‌اند (شکل ۴). سنگ‌های خروجی واحد ائوسن از جمله آندزیت، بیشتر در حاشیه کانسار دیده می‌شوند. سنگ‌های آندزیت پورفیری در قسمت‌های داخلی‌تر کانسار واقع شده و در مواردی به وسیله آبرفت‌ها پوشیده شده‌اند. آندزیتها و داسیت‌ها در گستره به دو صورت توده‌ای و دایک مشاهده می‌شوند.

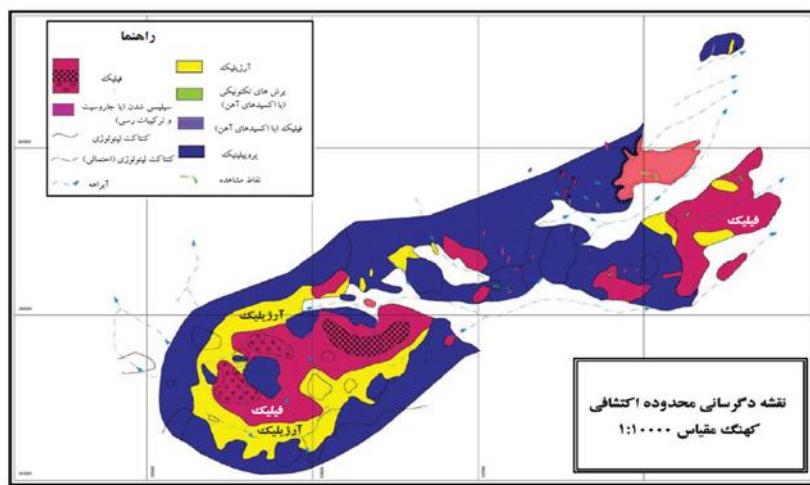
منطقه نیز با روند ساختاری یاد شده و موازی است که بیانگر اهمیت نقش گسل‌ها در جایگیری سنگ‌های آذرین و تشکیل کانسار در منطقه دارد [۵].



شکل ۴: نقشه زمین‌شناسی کانسار مس پورفیری کهنه‌گ (مقیاس ۱:۱۰۰۰۰) [۴]

منطقه‌های دگرسانی در کهنه‌گ به ترتیب شامل فیلیک (کوارتز- سریستی)، پتاسیک (بیوتیتی)، پروپلیتیک (کلسیتی و کلریتی) و آلرژیک است. این منطقه‌های دگرسان گاه روی یکدیگر بازنموده شده‌اند (شکل ۵).

در تشکیل مجموعه‌های دگرسانی عواملی همچون نوع واکنش شیمیایی، ترکیب شیمیایی سنگ‌های دیواره، درجه حرارت و فشار محیط تأثیرگذار است. بررسی‌های دقیق میکروسکوپی و زمین‌شناسی سطحی در بخش‌های مختلف کانسار مس پورفیری کهنه‌گ ثابت کرد که مهم‌ترین



شکل ۵: نقشه دگرسانی کهنه‌گ [۴]

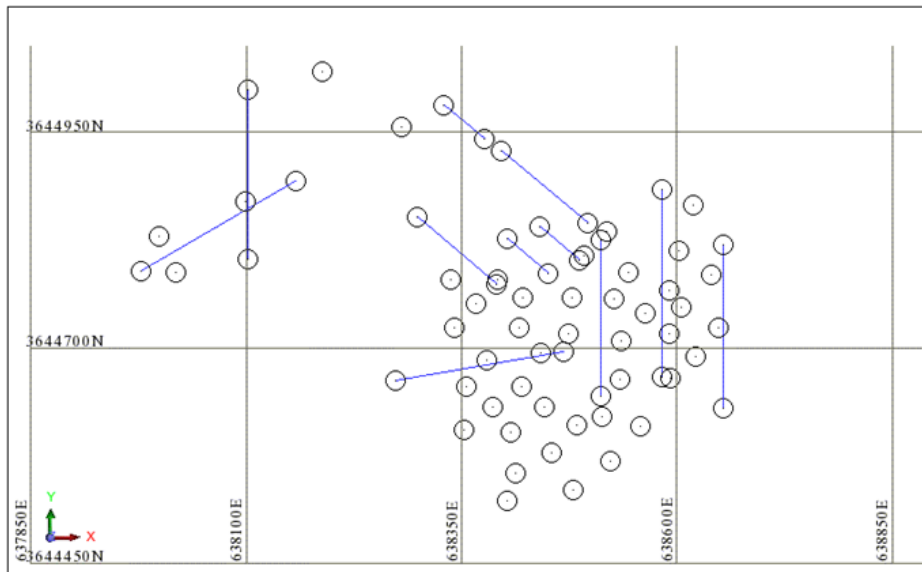
از توده‌های نفوذی متعلق به ترشیری که در ارتباط تنگاتنگ با کانسار مس پورفیری کهنه‌گ است، توده‌های گرانو-دیوریتی حوالی زفره به سن میوسن هستند [۶].

و سعیت دگرسانی در منطقه مورد بررسی بیش از ۱۰ کیلومتر مربع است. سنگ‌های آتش‌شانی و توده‌های نفوذی محدوده مطالعاتی کهنه‌گ به دوره ترشیری تعلق دارد. گروهی

عکس‌های تهیه شده از جعبه مغزه‌های اکتشافی منطقه توسط نرم‌افزار Core Processing پردازش و رقومی گردید [۷]. اطلاعات مورد نظر از ۲۰ چاه اکتشافی انتخابی از بین ۸۰ چاه حفاری شده به دست آمد. شکل ۶ موقعیت چاه‌های اکتشافی را نشان می‌دهد.

#### ۴- ایجاد بانک اطلاعاتی منطقه معدن کهنگ

مطالعه مورد نظر مربوط به داده‌های استخراجی از چاه‌های اکتشافی منطقه معدن کهنگ مثل ویژگی‌های رنگی مغزه بر اساس سیستم RGB کیفیت توده‌سنگ (RQD) و چگالی خطی درزه‌داری (P10) است. این داده‌ها از



شکل ۶: موقعیت چاه‌های اکتشافی منطقه مطالعه شماره ۱



الف



ب

شکل ۷: تصویر اولیه و برش داده شده جعبه مغزه‌های حفاری

#### ۱-۴- پردازش داده‌ها با استفاده از نرم‌افزار Core Processing

عکس‌های گرفته شده از جعبه مغزه چاه‌های اکتشافی تهیه گردید و به منظور ورود تصویر اولیه (شکل ۷-الف) به نرم‌افزار برش داده شدند (شکل ۷-ب) تا تنها قسمت مغزه‌های سنگی مورد پردازش قرار گیرند.

شکل ۸ منوی ورودی نرم‌افزار Core Processing را نشان می‌دهد که بر اساس داده‌های ورودی مورد نیاز، تشخیص رنگ (RGB)، دانه‌بندی جهت تعیین P10 و RQD را محاسبه و به صورت فایل‌های خروجی با فرمت اکسل به شرح جدول‌های ۱ و ۲ تهیه می‌کند. از ویژگی‌های نرم‌افزار این است که بر اساس تعداد نقطه‌ای که از جعبه مغزه می‌گیرد تنها بخش سنگی موجود در تصویر را در خروجی می‌دهد.

شکل ۸: منوی ورودی نرم‌افزار *Core Processing*

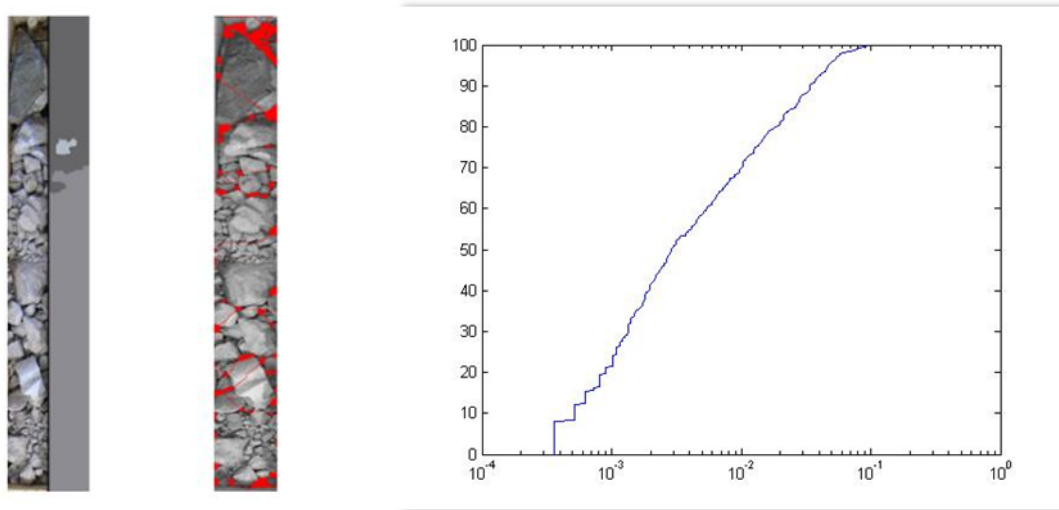
جدول ۱: مقادیر RGB تخمینی نرم‌افزار از عمق صفر تا ۱/۷۳ متری چاه شماره ۱

Hole No.	from	To	R	G	B
1	0	0.0163601	102	95	87
1	0.0163601	0.2610337	152	152	161
1	0.2610337	0.2952081	190	197	220
1	0.2952081	0.5704205	152	152	161
1	0.5704205	0.5769645	96	91	80
1	0.5769645	0.7132983	160	154	163
1	0.7132983	0.7336575	96	91	80
1	0.7336575	0.8303636	145	144	153
1	0.8303636	0.9532457	102	102	103
1	0.9532457	0.964516	181	186	201
1	0.964516	0.9834209	102	102	103
1	0.9834209	1.6461848	140	140	146
1	1.6461848	1.7330749	80	65	59
1	1.7330749	2.3362155	114	106	102

علاوه بر این شکل ۹ خروجی‌های گرافیکی نرم‌افزار شامل نمودار دانه‌بندی جعبه مغزه، نحوه محاسبه دانه‌بندی و رنگ‌بندی (RGB) را نشان می‌دهد. به وسیله این نرم‌افزار ۳۰۰۰ عکس مربوط به جعبه‌های مغزه حفاری اکتشافی ۲۰ چاه اکتشافی معدن کهنگ پردازش و فایل‌های صفحه گستردۀ مطابق با جدول‌های ۱ و ۲ تهیه گردید.

جدول ۲: مقدار RQD و چگالی خطی درزه‌داری (P10) مغزه از عمق صفر تا ۵ متری چاه شماره ۱

Hole No.	from	To	RQD	P10
1	0	1	26.938239	65.060241
1	1	2	0	133.73494
1	2	3	57.249233	13.253012
1	3	4	39.99124	42.168675
1	4	5	60.665791	19.277108



ب

شکل ۹: الف- نمودار دانه‌بندی جعبه مغزه، ب- نحوه محاسبه دانه‌بندی و رنگ‌بندی (RGB)

(P10) ازتابع توزیع نمایی و لگ نرمال تعیت می‌کنند و روش‌های ساده نرمال‌سازی نیز امکان نرمال‌کردن کامل آنها را ندارند. میانگین آماری RQD محاسبه شده از ۲۰ چاه اکتشافی بررسی شده معدن برابر با ۴۸/۸ درصد است که انطباق خوبی با مقدار به دست آمده از روش دستی گزارش شده توسط مشاور یعنی مقدار ۳۳ درصد دارد.

## ۵- تحلیل آماری داده‌ها

گزارش تحلیل آماری داده‌های خروجی نرم‌افزار Core Processing در جدول ۳ آمده است. بر اساس بررسی صورت گرفته پارامترهای R، G و B دارای تابع توزیع نرمال و پارامتر RQD و چگالی درزهای

جدول ۳: گزارش تحلیل آماری داده‌ها

ردیف	متغیر	میانگین	انحراف معیار	تابع توزیع
۱	R	۹۶/۸۳	۲۲/۸۷	
۲	G	۸۷/۲۴	۱۹/۱۷	
۳	B	۷۳/۰۱	۲۳/۲۳	
۴	RQD	۳۴/۸۳	۳۲/۱۳	
۵	P10	۴۶/۶۶	۲۷/۷۶	

$$I_{\text{rgb}} = \sqrt{(R^2 + G^2 + B^2)} \quad (1)$$

به منظور بررسی تفاوت و ایجاد امکان شناسایی نوع سنگ و زون‌های التراسیون منطقه معدن مس کهنه‌گ نوع سنگ و نوع آلتراستیون، نمونه‌های دو متري تهیه شده از مقادیر R, G, B و  $I_{\text{rgb}}$  مشخص گردید و مقادیر کمینه، بیشینه و میانگین هر نوع محاسبه شد که در جدول‌های ۴ و ۵ ارائه شده است.

یافتن شاخصی عددی که بتواند همزمان نمایندگی سه عدد مختلف رنگ (RGB) را بنماید، از نظر علمی کار ساده‌ای نیست. با این وجود ساده‌ترین راه تعیین طول بردار رنگ‌ها بر روی محور مختصات بود. لذا شاخصی به نام شاخص رنگ  $I_{\text{rgb}}$  به صورت رابطه (1) تعریف گردید و فرض شد که این شاخص بتواند تغییرات سنگ‌شناسی و آلتراستیون منطقه را نمایندگی کند.

جدول ۴: تغییرات رنگ‌بندی در زون‌های مختلف سنگی منطقه مورد مطالعه ۱

سنگ‌ها	N	R	G			B			$I_{\text{rgb}}$			
	تعداد نمونه	بیشینه	کمینه	متوسط	بیشینه	کمینه	متوسط	بیشینه	کمینه	متوسط	کمینه	بیشینه
کوارتز دیوریت	۲۸۵۰	۱۷۱	۳۱	۹۴	۲۱۵	۳۱	۸۵	۱۸۶	۲۰	۷۱	۲۸۹	۴۲
اندزیت	۶۳۳	۱۸۲	۳۴	۷۸	۱۵۲	۳۳	۷۱	۱۲۷	۲۱	۵۷	۲۵۴	۵۴
دایک اندزیتی	۲۶۷	۲۰۴	۵۲	۱۱۵	۲۰۲	۰	۱۰۰	۱۹۴	۰	۷۹	۳۴۷	۰
داسیت	۱۰۸۲	۱۸۸	۵۷	۱۰۷	۱۹۷	۵۱	۹۵	۲۳۲	۲۲	۷۷	۳۵۷	۰
کواتز آندزیت	۱۶۲	۱۴۶	۶۰	۱۰۵	۱۴۸	۵۰	۹۷	۱۸۷	۴۳	۸۴	۲۷۹	۹۰

جدول ۵: تغییرات رنگ‌بندی در زون‌های مختلف آلتراستیون منطقه مورد مطالعه ۱

انواع آلتراستیون	N	R	G			B			$I_{\text{rgb}}$			
	تعداد نمونه	بیشینه	کمینه	متوسط	بیشینه	کمینه	متوسط	بیشینه	کمینه	متوسط	کمینه	بیشینه
فیلیک	۲۱۰۰	۱۸۸	۴۱	۱۰۱	۱۹۷	۳۷	۹۰	۲۲۲	۲۰	۷۶	۳۵۷	۶۲
پتاسیک	۹۴۰	۱۸۲	۳۴	۷۸	۲۱۵	۳۳	۷۳	۱۳۶	۲۱	۶۱	۲۸۲	۵۴
کربناتی-کلریتی شده	۱۰۳	۲۱۶	۳۱	۸۷	۱۹۸	۳۱	۷۷	۱۴۸	۲۱	۶۰	۳۲۸	۴۹
کلریتی شدن	۱۹۷	۱۵۹	۴۸	۸۸	۱۳۳	۴۹	۸۰	۱۲۷	۳۳	۶۷	۲۲۳	۸۴
بروپیلیک	۱۱	۷۴	۶۱	۶۸	۷۳	۵۸	۶۵	۶۲	۴۷	۵۴	۱۲۰	۹۶
کواتز-کلریت-سریست	۶۴۷	۱۴۸	۴۷	۹۳	۱۵۰	۴۹	۸۹	۱۸۷	۳۸	۸۱	۲۷۹	۸۴
کوارتز سریستی	۳۶۷	۱۵۶	۴۴	۱۰۰	۱۳۵	۴۶	۸۵	۱۳۰	۲۲	۶۴	۲۲۹	۸۴
سریست	۸۴۰	۱۷۶	۱۴۴	۱۰۹	۱۴۴	۵۳	۹۵	۱۶۸	۲۰	۷۶	۲۵۹	۹۲

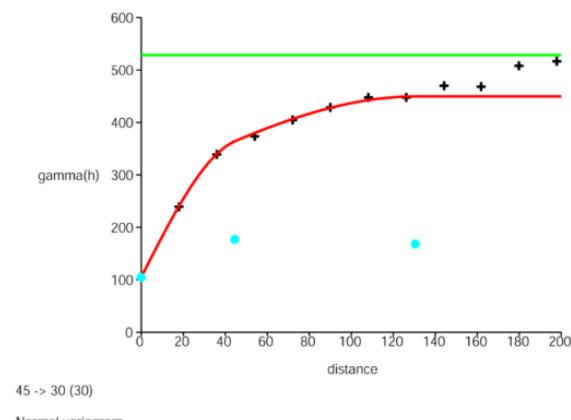
سریست، پیریت، کلریت، و ... است که سریست مشترک در دو منطقه علت همانندی رنگ در این دو منطقه شده است. اگر به ضریب  $I_{\text{rgb}}$  دیگر نواحی دقیق شود، نتایج مشابهی به دست خواهد آمد. مثلاً منطقه کوارتز-کلریت-سریست نیز به دلیل کانی‌های مشابه شرکت کننده در آن رنگ‌بندی نزدیکی با منطقه فیلیک دارد که امکان تفکیک آلتراستیون را به خصوص برای معادنی مثل معدن مس کهنه‌گ دشوار می‌نماید. قابل ذکر است این تفکیک‌پذیری در خصوص سنگ‌شناسی نیز صورت گرفت و نتایج تقریباً مشابهی به دست آمد. در شکل ۱۰ تصاویری از سنگ منطقه فیلیک و سنگ منطقه سریست دیده می‌شود که شباهت رنگ‌بندی این دو ناحیه را نشان می‌دهد.

جدول ۵ تفاوت‌های رنگ‌بندی موجود در زون‌های مختلف التراسیون را نشان می‌دهد. تفاوت در عدد  $I_{\text{rgb}}$  ناشی از تفاوت در سیستم آلتراستیون و کانی‌هایی است که در آن محیط وجود داشته و تحت فرایندهای دگرگونی مختلف آلتله شده‌اند. و هر چه کانی‌های دگرسانشده شباهت بیشتری داشته باشند، رنگ‌بندی آنها هم شبیه‌تر خواهد بود. از طرفی انواع دگرسانی‌ها در این منطقه اثر گذاشته‌اند که این خود باعث تفاوت و شباهت‌هایی در رنگ‌بندی موجود در این منطقه شده است. به عنوان مثال یکی از دلایل شبیه بودن رنگ‌بندی در منطقه فیلیک و سریست به این دلیل است که در دگرسانی منطقه سریست سریست برمی‌آید کانی‌ای اصلی آن سریست است و از طرفی دیگر کانی‌های دگرسانی موجود در منطقه فیلیک عبارت از کوارتز،

تخمین R, G و B (جدول ۳) فرض بر وجود همگنی منطقه مورد مطالعه گذاشته شد. در ادامه داده‌ها از لحاظ وجود روند در سه جهت مورد بررسی قرار گرفتند که در هیچ کدام از جهات X, Y و Z روند خاصی مشاهده نگردید و سپس واریوگرام تمام پارامترها محاسبه و بهترین مدل بر آنها برازش گردید.

### ۱-۶ واریوگرافی رنگ قرمز (R)

بهترین جهت و شبیه جستجوی واریوگرام رنگ قرمز (R) به ترتیب  $30^\circ$  و  $45^\circ$  درجه به دست آمد. واریوگرافی با گام<sup>۴</sup> های مختلف محاسبه شد و برازش مدل و اعتبارسنجی به روش خطای جک نایف انجام گردید و گام ۱۸ متری انتخاب شد (شکل ۱۲). مشخصات این واریوگرام در جدول ۶ و ۷ نشان داده شده است. بر اساس این داده‌ها میانگین خطای نزدیک به صفر، اختلاف واریانس‌ها  $0/11$  درصد که مقداری کمتر از  $10\%$  درصد و قابل قبول است و هیستوگرام خطای تخمین کاملاً متقارن و نرمال است، یعنی  $95$  درصد از خطای بین  $2 \pm 2$  برابر انحراف معیار تخمین قرار دارد، در نتیجه این واریوگرام معتبر است.



شکل ۱۲: برازش مدل به واریوگرام برای رنگ قرمز (R) با گام<sup>۴</sup> ۱۸ متری

جدول ۶: مشخصات واریوگرام رنگ قرمز

مدل واریوگرام	اثر موضعی (C <sub>0</sub> )	ساختمار اول		ساختمار دوم	
		C	Range	C	Range
Spherical	۱۰۵/۲۲۸	۱۷۳/۰۴	۴۴/۱۶	۱۷۶/۳۵	۱۳۵/۸۳



الف



ب

شکل ۱۰: الف- تصویری از سنگ موجود در منطقه سرسیست، ب- تصویری از سنگ موجود در منطقه فیلیک

همانطور که در تصویر مشاهده می‌شود مقاومت سنگ در ناحیه فیلیک کمتر و سنگ‌ها خرد شده‌تر هستند که این موضوع با RQD استخراجی حاصل از نرم‌افزار مطابقت دارد. از طرف دیگر تفاوت زیادی در میزان عدد I<sub>rgb</sub> بین زون‌های سرسیست و پتاسیک وجود دارد که به دلیل اختلاف کانی‌های موجود در این دو زون است (شکل ۱۱).



الف



ب

شکل ۱۱: الف- تصویری از سنگ موجود در منطقه سرسیست ب- تصویری از سنگ موجود در منطقه پتاسیک

### ۶- تحلیل زمین‌آماری داده‌های رنگی (RGB)

برای مدلسازی زمین‌آماری از نرم‌افزار سورپیک استفاده شده است. طبق مراحل عملیات زمین‌آماری بانک اطلاعاتی داده‌های استخراجی از نرم‌افزار Core Processing ایجاد و فایل ترکیبی داده‌ها حاوی زوج نمونه‌های مورد نیاز مدلسازی، تهیه شد. با توجه به توابع توزیع پارامترهای مورد

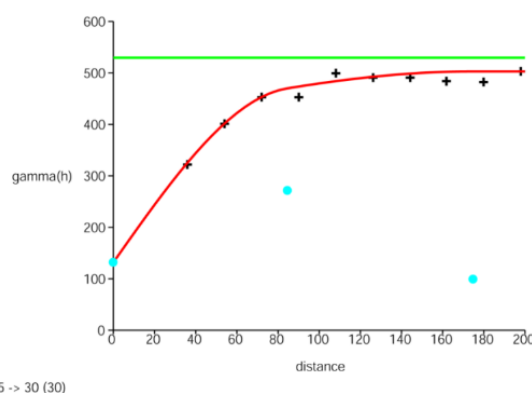
خطاهای و متوسط واریانس تخمین حدود  $0.73/73$  درصد و کمتر از  $10$  درصد است و  $95/30$  درصد از خطاهای بین  $\pm 2$  برابر انحراف معیار تخمین است، در نتیجه این واریوگرام معتبر است.

جدول ۹: نتایج اعتبارسنجی واریوگرام رنگ سبز

MEAN	۰/۰۰۴۱
VARIANCE	۱۳۲/۷۳
STD. DEVIATION	۱۱/۵۲
AVG. SQ. ERROR	۱۳۲/۷۰
WEIGHTED SQ. ERR.	۱۳۲/۷۹
SKEWNESS	-۰/۸۰۳۹
KURTOSIS	۸/۹۶۱۸
NO. OF ASSAYS	۵۳۷۹
AVG KRIG VARIANCE	۱۳۳/۷۰
% OF ERRORS WITHIN TWO STD. DEVIATIONS	۹۵/۳۰
درصد اختلاف واریانس‌ها	۰/۷۳

### ۳-۶ - واریوگرافی رنگ آبی (B)

بهترین جهت و شیب جستجوی برای واریوگرام B به ترتیب  $30$  و  $45$  درجه به دست آمد. مثل قبل واریوگرافی برای گام‌های مختلف صورت گرفت که به دلیل خوش منظر بودن گام  $18$  متری انتخاب گردید. شکل ۱۴ و جدول‌های  $10$  و  $11$  این واریوگرام را توصیف می‌کنند. همان‌گونه که از جدول  $10$  و  $11$  ملاحظه می‌شود، میانگین خطأ تقریباً صفر است، اختلاف واریانس خطاهای و متوسط واریانس تخمین درصد و کمتر از  $10$  درصد است و هیستوگرام خطاهای نرمال است، یعنی  $95/28$  درصد از خطاهای بین  $\pm 2$  برابر انحراف معیار تخمین قرار می‌گیرد، در نتیجه این واریوگرام معتبر جهت تخمین معتبر است.

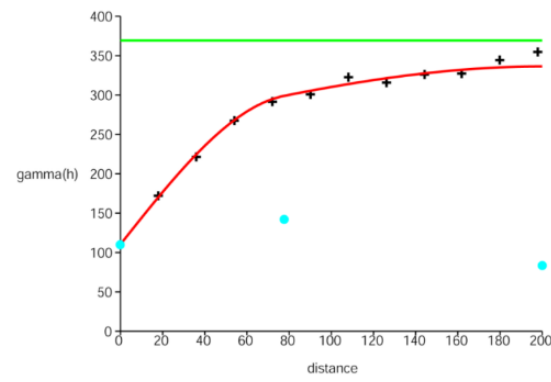
شکل ۱۴: برازش مدل به واریوگرام برای رنگ آبی با گام  $18$  متری

جدول ۷: نتایج اعتبارسنجی واریوگرام رنگ سبز

MEAN	۰/۰۰۱۱
VARIANCE	۱۴۳/۱۸
STD. DEVIATION	۱۱/۹۶
AVG. SQ. ERROR	۱۴۳/۱۵
WEIGHTED SQ. ERR.	۱۴۳/۲۳
SKEWNESS	-۰/۶۴۸۲
KURTOSIS	۷/۹۴
NO. OF ASSAYS	۵۳۷۹
AVG KRIG VARIANCE	۱۴۳/۲۴
% OF ERRORS WITHIN TWO STD. DEVIATIONS	۹۵/۰۰
درصد اختلاف واریانس‌ها	۰/۱۱

### ۲-۶ - واریوگرافی رنگ سبز (G)

بهترین جهت و شیب جستجوی وايوگرام G به ترتیب  $30$  و  $45$  درجه به دست آمد. واریوگرافی با گام‌های مختلف انجام و برازش مدل و اعتبارسنجی انجام گردید. واریوگرام گام  $18$  متر به دلیل خوش منظر بودن و اعتبار بیشتر انتخاب گردید و برای تخمین استفاده شد. شکل ۱۳ و جدول‌های  $8$  و  $9$  این واریوگرام را توصیف می‌کنند.

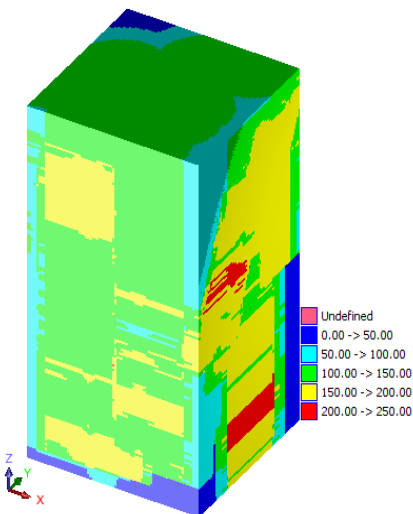
شکل ۱۳: برازش مدل به واریوگرام برای رنگ سبز با گام  $18$  متری

جدول ۸: مشخصات واریوگرام رنگ سبز

اثر موضعی واریوگرام	$C_0$	ساختمار اول		ساختمار دوم	
		C	Rang e	C	Range
Spherical	۱۱۰/۳۲۷	۱۴۲/۳۸۶	۷۷/۴۹	۸۳/۶۱	۲۰۰/۰۰

همان‌گونه که ملاحظه می‌شود در اعتبارسنجی این واریوگرام، میانگین خطاهای تقریباً صفر است، اختلاف واریانس

مقطع سنگ‌شناسی گذرنده از چاههای شماره ۱۰، ۵۵، ۱۱ و ۲۰ تهیه شده توسط کارشناسان منطقه مورد مطالعه و شکل ۱۶-ب مقطع تهیه شده از مدل تخمینی  $I_{rgb}$  را نشان می‌دهد. در این معدن به دلیل نزدیکی رنگ‌ها در سنگ‌شناسی، تفکیک سنگ‌ها بر اساس مقدار  $I_{rgb}$  به نظر دقیق نمی‌آید. لازم به ذکر است مدل زمین‌آماری تهیه شده تنها بر اساس ۲۰ چاه اکتشافی ایجاد شده است و با اضافه کردن تمام چاهها دقت مدل بالاتر خواهد رفت و احتمالاً تطابق بیشتری پیدا خواهد نمود.



شکل ۱۵: مدل بلوکی پارامتر  $I_{rgb}$  به دست آمده از مدل‌های  $R$  و  $G$

جهت برگرداندن رنگ طبیعی به مقطع بر اساس مقادیر  $R$ ،  $G$  و  $B$  از محیط نرم‌افزاری Mathematica استفاده شد و با استاندارد کردن مقادیر بین صفر و یک، رنگ واقعی سنگ در مقطع مورد مطالعه ایجاد گردید که مطابقت خوبی با مقطع شاخص تعریف شده  $I_{rgb}$  که ریشه دوم مجموع مربعات مقادیر  $R$  و  $B$  است دارد. (شکل ۱۶ و ۱۷) اما در مجموع رنگ‌ها به روش پیشنهادی پاسخ مناسب را حاصل نمی‌کند.

جدول ۱۰: مشخصات واریوگرام رنگ آبی

اثر موضعی مدل واریوگرام	$C_0$	ساختار اول		ساختار دوم	
		C	Range	C	Range
Spherical	۱۳۱/۸۲۸	۲۷۱/۲۸	۸۴/۳۲۶	۹۹/۷۶۹	۱۷۴/۵۵

جدول ۱۱: نتایج اعتبارسنجی واریوگرام رنگ آبی

MEAN	۰/۰۰۵۳
VARIANCE	۱۵۲/۳۶
STD. DEVIATION	۱۲/۳
AVG. SQ. ERROR	۱۵۲/۳
WEIGHTED SQ. ERR.	۱۵۲/۴۱
SKEWNESS	-۰/۷۵۴۸
KURTOSIS	۷/۷۱
NO. OF ASSAYS	۵۳۷۹
AVG KRIG VARIANCE	۱۶۵/۹۰
% OF ERRORS WITHIN TWO STD. DEVIATIONS	۹۵/۲۸
درصد اختلاف واریانس‌ها	۸/۱

## ۷- تخمین زمین‌آماری پارامترهای $R$ ، $G$ و $B$ منطقه معدن کهنگ

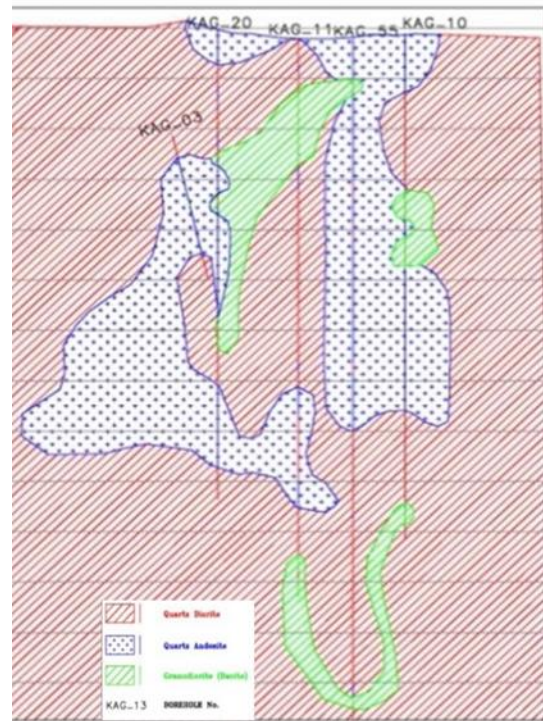
تخمین به روش زمین‌آماری و بر اساس روش کریجینگ معمولی برای منطقه مورد مطالعه صورت گرفت. بدین منظور با توجه به حجم و شرایط داده‌ها، مدل بلوکی با ابعاد بلوک‌های  $5 \times 5 \times 5$  برای تخمین پارامترهای  $R$ ،  $G$  و  $B$  و سپس مدل‌های تخمین خورده و طبقه‌بندی شده پارامتر  $I_{rgb}$  در شکل ۱۵ به نمایش گذاشته شده است.

## ۸- اعتبارسنجی روش RGB در تخمین مدل زمین‌شناسی

در این بخش ایده استفاده از سیستم رنگ RGB و ریشه دوم مجموع مربعات آنها  $I_{rgb}$  برای تهیه مقاطع سنگ‌شناسی و سپس مقاطع دگرسانی منطقه بررسی شد. شکل ۱۶-الف

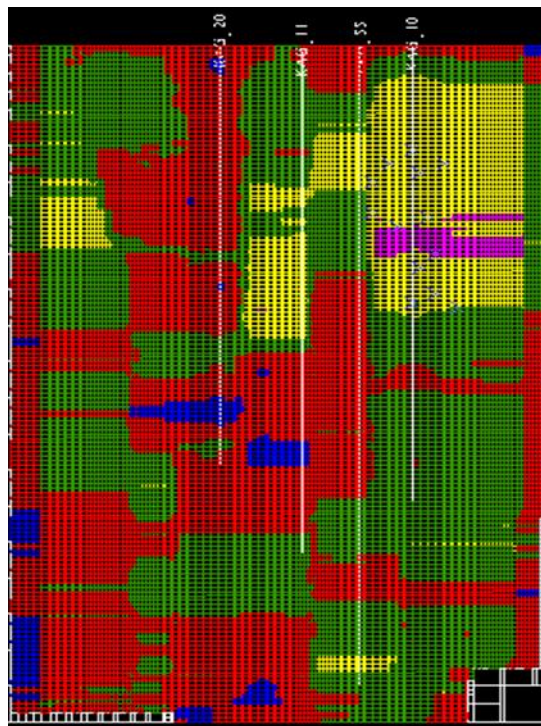


ب

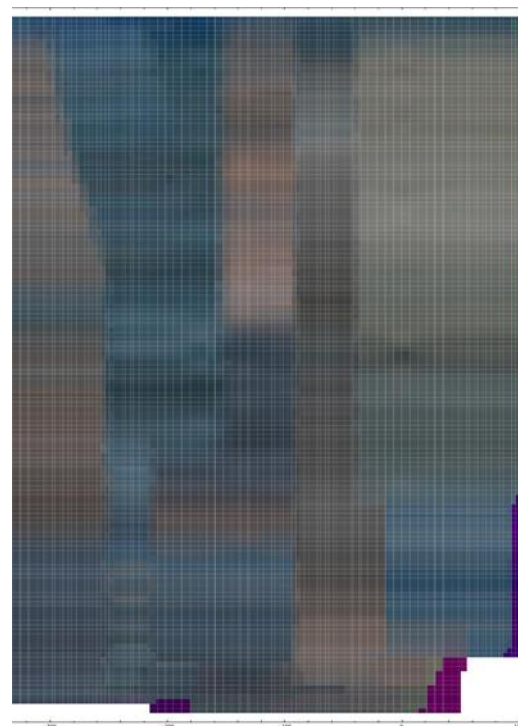


الف

شکل ۱۶: الف- مقطع سنگ‌شناسی گذرنده از چاه‌های شماره ۱۰، ۱۱، ۵۵ و ۲۰ [۱۰] ب- مقطع تهیه شده از مدل تخمینی *Irgb*



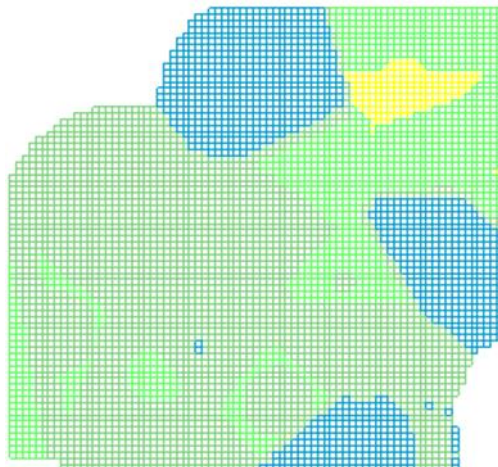
ب



الف

شکل ۱۷: الف- مقطع سنگ‌شناسی گذرنده از چاه‌های شماره ۱۰، ۱۱، ۵۵ و ۲۰ ب- مقطع تهیه شده از مدل تخمینی *Irgb*

برش به سطح زمین است انتخاب و نتیجه تخمین، با نقشه پهنه‌بندی آلتراسیون محدوده معدن کهنه‌گ که از سطح زمین تهییه شده است مورد مقایسه قرار گرفت (شکل ۱۸).



ب

شکل ۱۸: الف- نقشه پهنه‌بندی آلتراسیون [۱۰] ب- پلان مقدار  $I_{rgb}$  در ارتفاع ۲۳۰۰

مسئله دوم پژوهش، بررسی امکان انطباق مدل تخمینی RGB با تغییرات دگرسانی در منطقه مورد مطالعه بود. برش مربوط به ارتفاع ۲۳۰۰ از مدل تخمینی که نزدیکترین



الف

معدن مس میدوک در فاصله ۴۲ کیلومتری شمال شرق شهریابک و ۱۳۲ کیلومتری شمال غرب معدن مس سرچشمۀ قرار گرفته است که شناخت وضعیت آب معدن در دستور کار برداشت ژئوفیزیکی به روش تصویربرداری الکتریکی<sup>۵</sup> بود تا بر اساس آن زون‌های آبدار مشخص و جانمایی چاههای آبکشی صورت گیرد. شکل ۱۹ موقعیت پروفیل‌های تصویربرداری الکتریکی در معدن میدوک را نشان می‌دهد (پروفیل‌های A تا D) و نقاط سیاه رنگ در شکل نیز نشان دهنده موقعیت چاههای آبکشی حفر شده موجود معدن است.

مثل آنچه در مورد معدن کهنه‌گ اتفاق افتاد جهت تخمین چگالی درزه‌داری و مقادیر R, G و B، تعداد ۱۳ گمانه ژئومکانیکی و ۳۵ گمانه ژئوشیمیایی معدن میدوک انتخاب گردید که در شکل ۲۰ دیده می‌شود. بعد از تخمین مقادیر RGB به روش عکس مجذور فاصله، شاخص رنگ  $I_{rgb}$  که بردار برایند رنگ‌های سه‌گانه است برای یکسان‌سازی نتایج مدل رنگ برای کلیه بلک‌ها محاسبه گردید. شکل ۲۱ مدل تخمینی این پارامتر را نشان می‌دهد.

با مقایسه نقشه پهنه‌بندی آلتراسیون معدن کهنه‌گ با نقشه برش مربوط به ارتفاع ۲۳۰۰ پارامتر  $I_{rgb}$ ، می‌توان این گونه نتیجه گرفت که به دلیل تغییرات زیاد رنگ در آلتراسیون‌های چندگانه منطقه مطابقت خوبی بین زون‌های مختلف آلتراسیون (شکل ۱۸-الف) و رنگ‌بندی تخمینی و کلاستر شده (شکل ۱۸-ب) برقرار است، به طوری که رنگ آبی نشان داده شده در مقطع مدل تخمینی، معادل زون آرزیلیک، رنگ سبز روشن معادل فیلیک و سبز تیره معادل زون پروپلیتیک خواهد بود و رنگ زرد نیز بنا به مقایسه انجام گرفته شاید نزدیک به زون فیلیک باشد. در آخر می‌توان نتیجه گرفت که به دو دلیل امکان انطباق مقاطع رنگی RGB با شرایط سنگ‌شناسی به وجود نیامد. اول اینکه مدل تهییه شده تنها بر اساس ۲۰ چاه از ۸۰ چاه حفاری شده است و طبیعتاً افزایش چاه‌ها باعث تغییر محسوسی در دقت خواهد شد و دوم اینکه امکان اشتباه بودن مقاطع دستی تهییه شده توسط زمین‌شناسان معدن وجود دارد چرا که در تهییه این مقاطع از روش درون‌بایی خطی معمولی است. در مجموع به نظر می‌رسد حساسیت رنگ معادنی از این دست (معدن پرفیری مس) بیشتر به آلتراسیون است تا سنگ‌شناسی. برای اثبات این موضوع در ادامه مسئله دوم مطالعاتی دوم، معدن مس میدوک دنبال شده است.

## ۹- تشخیص دگرسانی به روش سیستم رنگ RGB در معدن مس میدوک

شکل ۲۱: تخمین شاخص  $I_{rgb}$  در معدن میدوک به روش عکس  
مجذور فاصله [۸].

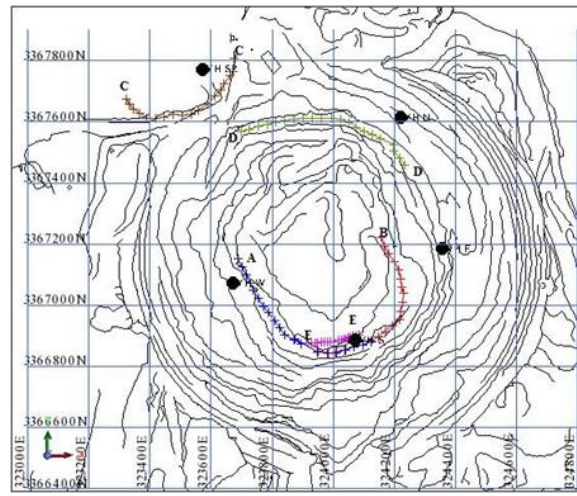
به منظور مقایسه مقادیر مقاومت ویژه الکتریکی به دست آمده از تصویربرداری الکتریکی با مقادیر تخمینی، مقادیر شاخص رنگ  $I_{rgb}$  به عنوان شاخص تشخیص آلتراسیون بر اساس مورد مطالعاتی بررسی شده اخیر، از مدل تخمینی شاخص  $I_{rgb}$  مقاطعی در راستای پروفیل‌های تصویربرداری الکتریکی تهیه گردید که در ادامه مورد بررسی قرار گرفته است.

### -۱-۹ بروزی پروفیل غربی AA

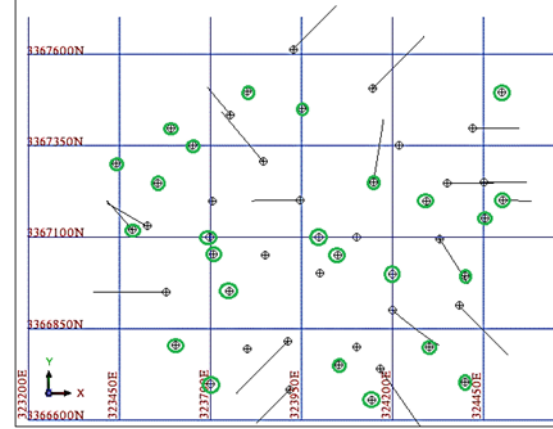
نقشه هم مقاومت ظاهری تهیه شده از داده‌های برداشت شده پروفیل غربی (قطع AA) و همچنین مقطع  $I_{rgb}$  در شکل ۲۲ نشان داده شده است. بیشینه عمق نفوذ مدلسازی ژئالکتریک در این مطالعه ۱۳۰ متر است. ابتدایی ترین تفسیر در خصوص این پروفیل وجود لایه‌های آبدار در عمق حدود ۴۵ متری است. اما این نظریه به دو دلیل رد می‌شود. اول اینکه با وجود آبکشی معدن در ۶۰ متر پایین تر از تراز برداشت شده، احتمال وجود آب کم می‌شود و دوم عدم اتصال زون کم مقاومت به عمق، نبود جریان و یا آب را نشان می‌دهد. با مقایسه نقشه هم مقاومت ظاهری با مقاطع رنگی  $I_{rgb}$  (شکل ۲۲- ب) می‌توان نتیجه گرفت کاهش ضرایب مقاومت الکتریکی همیشه به دلیل وجود رطوبت نبوده و تغییرات لیتولوژی و به خصوص دگرسانی منطقه که در تغییرات رنگ پدیدار شده، عامل اصلی در تغییرات ژئالکتریکی است. با مقایسه مقطع مدل ژئالکتریک و مدل  $I_{rgb}$  تغییرات قسمت‌های مختلف در دو مقطع را می‌توان با نقاط مشخص شده روی شکل توجیه کرد.

### -۲-۹ بروزی پروفیل‌های CC، BB و DD

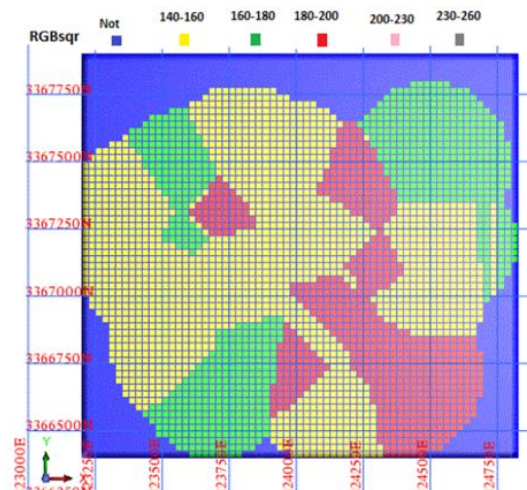
پروفیل‌های BB، CC و DD طبق آنچه در پروفیل غربی (AA) صورت گرفت، به دست آمد و در شکل‌های ۲۳، ۲۴ و ۲۵ نمایش داده شده است:

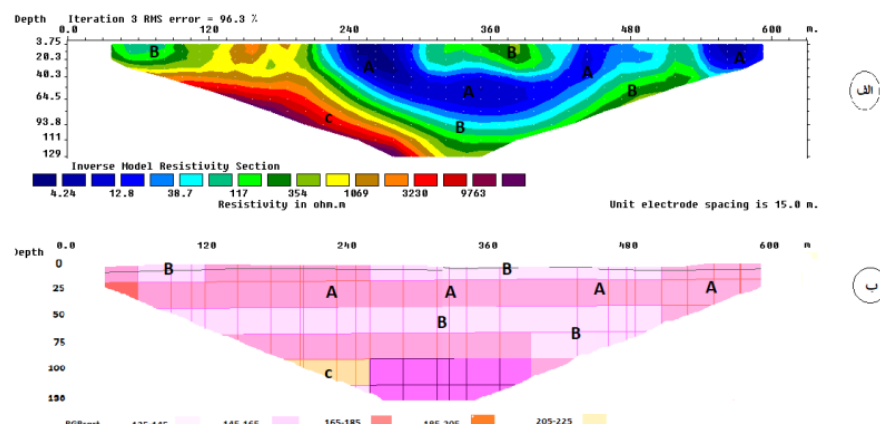


شکل ۱۹: موقعیت پروفیل‌های تصویربرداری الکتریکی در معدن میدوک [۸]

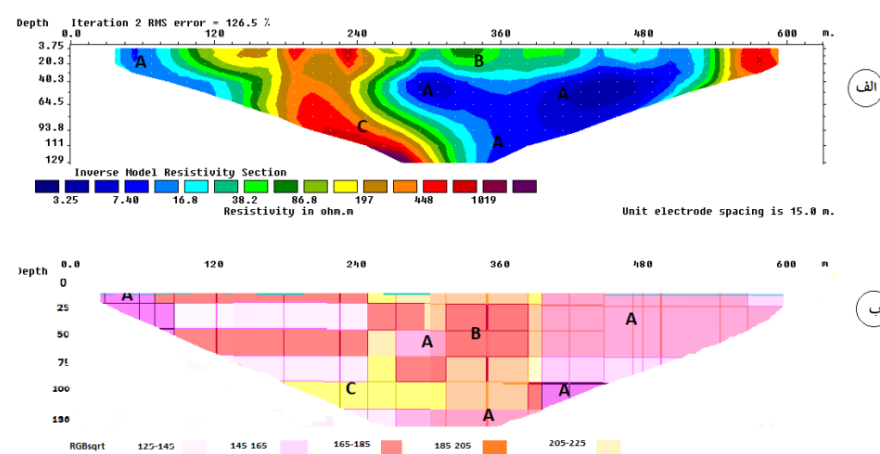


شکل ۲۰: موقعیت گمانه‌های مورد استفاده در مدلسازی، چاههای جدید با رنگ سبز مشخص شده‌اند [۸].

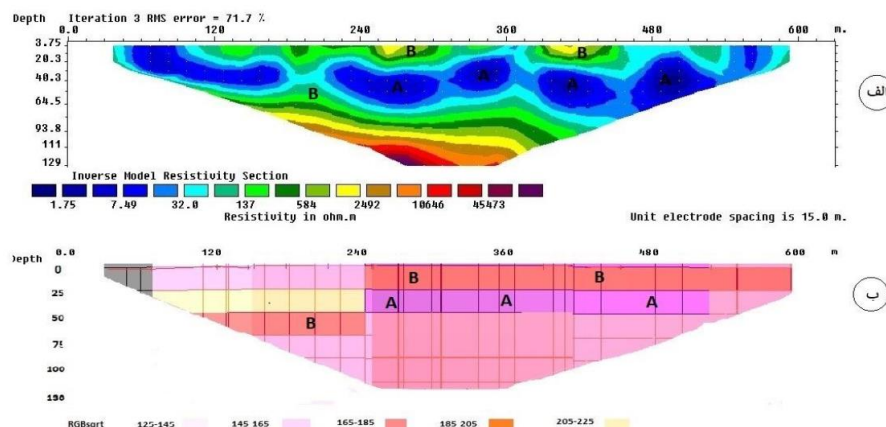




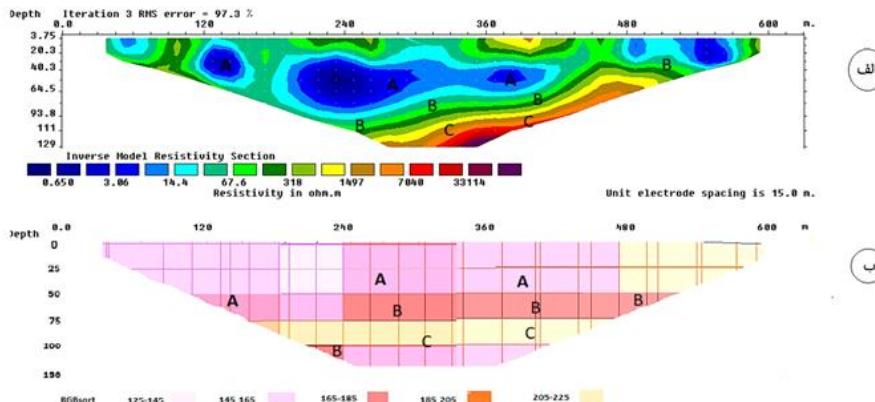
شکل ۲۲: نقشه هم مقاومت ظاهری پروفیل غربی AA و مقطع سیستم رنگ Irgb [۸]



شکل ۲۳: نقشه هم مقاومت ظاهری پروفیل شرقی BB و مقطع سیستم رنگ Irgb [۸]



شکل ۲۴: نقشه هم مقاومت ظاهری پروفیل استو پایل CC و مقطع سیستم رنگ Irgb [۸]



شکل ۲۵: نقشه هم مقاومت ظاهری بروفیل شمالی DD و مقطع سیستم رنگ  $I_{rgb}$  [۸]

تایید مینماید و قابلیت اعتماد به مقادیر تخمینی را بالا می‌برد.

مقاطع تهیه شده از مدل تخمینی زمین‌آماری در معدن مس کهنگ و مدل تخمینی به روش عکس مجدور فاصله در معدن مس میدوک، ارتباط خوب شاخص رنگ  $I_{rgb}$  و آلتراسیون را نشان می‌دهد و اینکه این روش قابلیت توسعه جهت تهیه مدل زمین‌آماری زمین‌شناسی-دگرسانی را دارد. همخوانی بسیار نزدیک بین تغییرات شاخص رنگ  $I_{rgb}$  و مقاومت ویژه الکتریکی در معدن مس میدوک امکان مطالعات تطبیقی تصویربرداری الکتریکی و مدل سیستم رنگ RGB را با دقت بالا به وجود آورده است. لذا پیشنهاد می‌گردد جهت مطالعات آبشناصی معدن و جانمایی چاههای آبکشی مدل‌های مذکور مورد مقایسه قرار گیرند.

#### مراجع

- [1] S. E. Sajjadi, R. Fadaee, Matlab Practical Image Processing, Naghous Publishing, 2009. (in Persian)
- [2] J. Méndez-Venegas, M. A. Díaz-Viera, Geostatistical modeling of clay spatial distribution in siliciclastic rock samples using the plurigaussian simulation method, Geofísica Internacional (2013) 52-3: 229-247
- [3] S. Grunwald, P. Barak, K. McSweeney, B. Lowery, "Soil landscape models at different scales portrayed in virtual reality modeling language." Soil Science 165, no. 8 (2000): 598-615
- [4] National Iranian Copper Industries Company, Geological and Alteration Studies Report of Eastern Kahang in scale 1: 1000, Zarnab Exploration Consulting Engineer, 2011. (in Persian)
- [5] A. Mehrdad, Petrology and Geochemistry of Volcanic rocks host porphyry copper deposit

بر اساس شکل‌های ۲۲ تا ۲۵ و بررسی اجمالی نتایج تصویربرداری الکتریکی از جبهه‌کارهای معدن میدوک و مقایسه آنها با مقطع  $I_{rgb}$  می‌توان نتیجه گرفت که ابتدا همخوانی بسیار نزدیکی بین تغییرات رنگ و مقاومت ویژه الکتریکی دیده می‌شود و از طرفی بخش اعظم تغییرات نشان داده شده در تصاویر الکتریکی مذکور ناشی از تغییرات لیتوژئی و یا تغییرات دگرسانی است که در رنگ تخمین زده شده مدل سیستم RGB نمایان نیست. لذا بعضًا تعلق نقاطی که مقاومت ویژه الکتریکی پایین دارند به مناطق آبدار به دلیل تاثیرات پارامترهای متعدد از جمله دگرسانی توده باید با ملاحظات خاصی صورت گیرد و بنابراین پیشنهاد می‌گردد در مقطع AA تا DD پارامترهای سنگ‌شناسی، دگرسانی، درزه‌داری، آب و ویژگی‌های ژئومکانیکی همزمان مورد بررسی قرار گیرد تا امكان تحلیل صحیح از تغییرات مقاومت الکتریکی به وجود آید.

#### ۱۰- نتیجه‌گیری

با استفاده از نرم‌افزار Core Processing می‌توان پارامترهایی از سنگ مانند رنگ‌بندی، چگالی درزه‌داری و شاخص کیفی توده‌سنگ را از جعبه مغزهای حفاری برآورد نمود که علاوه بر سرعت بالا، دارای دقت نسبت خوبی نیز است.

در خصوص داده‌های مورد بررسی به خصوص سیستم رنگ RGB فرضیه پایایی در منطقه صدق می‌کند و بررسی روند در منطقه نشان می‌دهد که پارامترهای رنگ‌بندی دارای روند نیستند. از طرفی وجود واریوگرامهای خوش منظر و معتبر برای تخمین رنگ‌های قرمز، سبز و آبی نیز این امر را

- [8] A. R. Yarahmadi Bafeghi et al., Geophysical-Geotechnical Investigation of Miduk Copper Mine to Determin location of new drainage wells, Research Project, Mining Engineering Research Center, Yazd University, 2016. (in Persian)
- (Northeast of Isfahan), MSc in Petrology, Faculty of Geology, Tehran University, 2011, p. 127. (in Persian)
- [6] J. Radfar, R. Kohansal, Geological map of Iran (Kuhpayeh) 1:100000, Geological Survey and Mineral Exploration of Iran, Tehran, 2002.
- [7] M. Mobini, M. T. Sadeghi, A. R. Yarahmadi Bafeghi, Preparation of Image Processing Software (Core Processing) for Core Boxes logging, Research Project, Yazd University, 2011. (in Persian)

<sup>4</sup> Lag<sup>5</sup> - Geoelectrical Imaging<sup>1</sup> -Red-Green-Blue<sup>2</sup>-RQD<sup>3</sup> - Joint Density